ՀԱՅԱՍՏԱՆԻ ՀԱՆՐԱՊԵՏՈՒԹՅԱՆ ԳԻՏՈՒԹՅՈՒՆՆԵՐԻ ԱԶԳԱՅԻՆ ԱԿԱԴԵՄԻԱ

НАЦИОНАЛЬНАЯ АКАДЕМИЯ НАУК РЕСПУБЛИКИ АРМЕНИЯ

Հшјшиտшնի рիմիшկшն ншипեи 55, №3, 2002 Химический журнал Армении

УДК 541.12.038.122.3

ИССЛЕДОВАНИЕ ВЗАИМОДЕЙСТВИЯ В СИСТЕМЕ MgCl2−NaOH−Na2SiO3−H2O ПРИ 20°C

Н. О. ЗУЛУМЯН, Э. Б. ОГАНЕСЯН, Р. Б. ТОВМАСЯН и С. С. КАРАХАНЯН

Институт общей и неорганической химии им. М.Г. Манвеляна НАН Республики Армения, Ереван

Поступило 7 VII 1999

Исследована система MgCl2–NaOH–Na2SiO3–H2O при 20° С методами "остаточных концентраций", растворимости, определением pH фильтратов. Показано, что в зависимости от исходного мольного отношения MgO/Na2O+SiO2<1 при Na2O/SiO2=1 образуются гидросиликаты переменного состава. При составе MgO/Na2O+SiO2<1 образуется гидроортосиликат магния. Проведены термографическое, рентгенометрическое и ИК спектроскопическое исследования выделенных гидросиликатов и их прокаленных образцов.

Рис. 3, табл. 1, библ. ссылок 12.

Силикаты магния, в особенности ортосиликат магния - форстерит, находят большое применение в качестве основных компонентов в производстве особых сортов керамики, люминафоров, огнеупоров [1]. Известны синтезы при высоких температурах ортосиликата магния из смеси MgO и SiO_2 , взятых в стехиометрическом соотношении [2], из энстатита [3]. Изучена система MgO-SiO2. Получен метасиликат магния, SiO2, а также форстерит [4]. Исследование взаимодействий в системе MgCl2-Na2SiO3-H2O показало образование только гидратированного метасиликата магния [5]. С другой стороны, в диаграмме растворимости четверной взаимной системы Na₂SiO₃-K₂SiO₃-NaOH-KOH-H₂O были найдены при 15°C ветви кристаллизации, отвечающие сосуществованию Na₃HSiO₄·5H₂O $NaOH \cdot H_2O$ [6]. Основываясь на эти исследования, был синтезирован гидроортосиликат магния из водных растворов MgCl2, NaOH и Na2SiO3 [7].

Цель данного исследования – изучить систему $MgCl_2$ –NaOH–Na₂SiO₃–H₂O при 20° C в широком интервале соотношений MgO/Na_2O+SiO_2 при $Na_2O/SiO_2=1$, что позволит определить области образования гидроортосиликата магния.

Экспериментальная часть и обсуждение результатов

Исходными веществами для исследования указанной системы были $MqCl_2·6H_2O$, NaOH и Na₂SiO₃·9H₂O марки "х.ч.". Для упрощения подхода условно принимаем, что в исходном растворе NaOH и Na2SiO3, в разрезе молярного отношения Na₂O/SiO₂=1, представляют собой один компонент, являющийся постоянной величиной, К которому прибавляется увеличивающееся от опыта к опыту количество раствора MgCl2, исходя из различных мольных отношений MgO/Na₂O+SiO₂= 0,2-4. После установления равновесия (~7 дней) между жидкой и твердой фазами при 20°C твердая фаза отделялась от жидкой и проводился химический анализ обеих фаз. SiO2 определялось солянокислым методом, Mg - комплексометрическим титрованием трилоном-Б, Na – титрованием с помощью соляной кислоты.

Результаты химического анализа фильтратов и осадков системы MgCl2-NaOH-Na₂SiO₃-H₂O при постоянной концентрации NaOH+Na₂SiO₃ в исходном растворе при мольном отношении Na₂O/SiO₂=1 показывают, что в зависимости исходного мольного отношения MgO/Na₂O+SiO₂ образуются гидросиликаты переменного состава. Так, в пределах отношения $0.2 \le MgO/Na_2O + SiO_2 \le 1$ имеет место образование осадков переменного состава. При MgO/Na₂O+SiO₂=1 осаждается гидроортосиликат магния состава 2MgO·SiO₂·nH₂O. Дальнейшее повышение концентрации хлорида магния приводит к образованию Mg(OH)2, реагируя с существующим в растворе NaOH, не влияя на состав гидроортосиликата магния (таблица).

На кривой ДТА гидросиликата магния состава $2MgO\cdot SiO_2\cdot nH_2O$ наблюдаются эндотермические эффекты с максимумами 120 и $340^{\circ}C$, которые

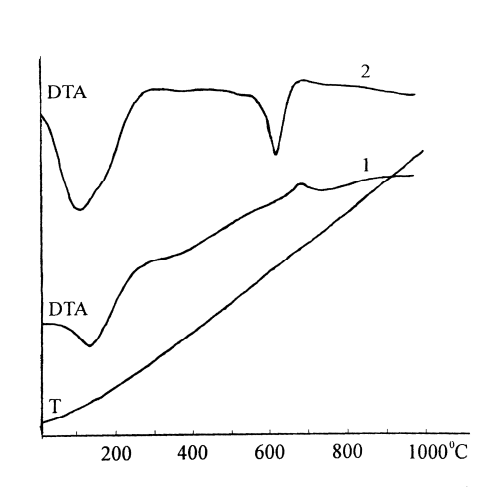


Рис. 1. Дериватограмма гидросиликатов магния: $1-2MgO\cdot SiO_2\cdot nH_2O$, $2-2MgO\cdot SiO_2\cdot nH_2O + Mg(OH)_2$.

ступенчатым co удалением адсорбционной воды (рис.1). Экзотермический эффект при 640°С, который не сопровождается потерей следует приписать началу кристаллизации ортосиликата магния. На кр. 2 гидросиликата магния состава 2MgO· SiO2·nH2O +Мg(ОН)2, кроме вышесказанных эффектов, наблюдается также ярко выраженный эндотермический эффект при 490°C, соответствующий разрушению Мg(OH)2 на МgО и H₂O.

Таблица

Взаимодействие в системе MgCl2–NaOH–Na2SiO3–H2O при постоянной концентрации NaOH+Na2SiO3 в исходном растворе при мольном отношении Na2O/SiO2=1

Молярное Исходный Фильтрат, г/л pΗ Осадок, % отношение раствор, г/л фильисходных Расчетный состав осадка тратов влажкомпонентов Na₂OMgO SiO_2 MgO Na₂O SiO₂ MgO SiO_2 ность MgO/Na₂O +SiO₂ 0,2 1 3,87 3,75 3,87 11,5 13,0 41,1 45,8 $0,4MgO\cdot SiO_2\cdot nH_2O$ не не обн. обн. 3,87 11,3 36,5 0,4 2 3,87 3,75 25,3 38,2 $0.8 MgO \cdot SiO_2 \cdot nH_2O$ 0,6 3 3,87 3,75 3,87 11,2 29,0 35,1 35,6 1,2MgO·SiO₂·nH₂O 11 11,0 37,7 8,0 3,87 3,75 3,87 32,0 30,0 4 1,6MgO·SiO₂·nH₂O 11 3,75 10,9 24,4 42,6 1,0 5 3,87 3,87 32,7 $2,0MgO\cdot SiO_2\cdot nH_2O$ 11 51,3 1,2 6 3,87 3,75 2,32 9,5 32,9 15,5 $2.0 \text{MgO} \cdot \text{SiO}_2 \cdot \text{nH}_2 \text{O} + \text{Mg(OH)}_2$ 11 7 0,77 7,5 48,5 3,87 3,75 34,0 17,1 1,4 $2,0MgO\cdot SiO_2\cdot nH_2O + Mg(OH)_2$ 11 8 3,87 3,75 6,9 33,9 16,5 49,6 1,6 не $2,0MgO\cdot SiO_2\cdot nH_2O + Mg(OH)_2$ 0,5 обн. 10 3,87 3,75 34,1 16,9 48,8 2,0 5,5 $2_10MgO\cdot SiO_2\cdot nH_2O + Mg(OH)_2$ 2,5 15,9 3,0 15 3,87 3,75 4,2 33,9 50,0 п $2.0 \text{MgO} \cdot \text{SiO}_2 \cdot \text{nH}_2 \text{O} + \text{Mg(OH)}_2$ 7,5 20 3,75 4,0 3,87 3,8 34,1 16,3 49,5 $2.0 \text{MgO} \cdot \text{SiO}_2 \cdot \text{nH}_2 \text{O} + \text{Mg(OH)}_2$ 12,5

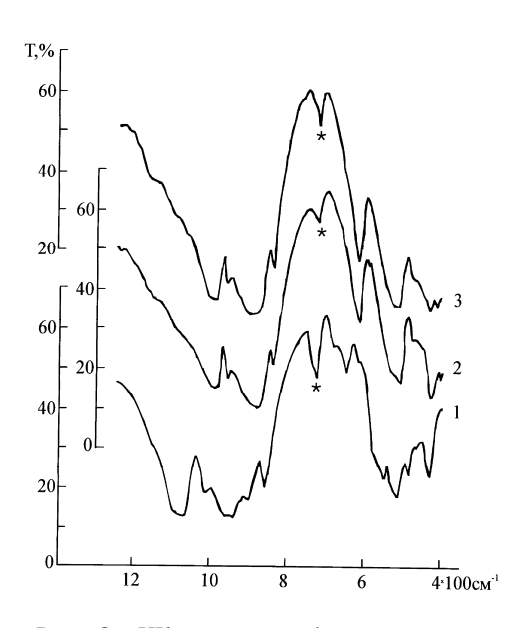


Рис. 2. ИК спектры образцов состава $mMgO \cdot nSiO_2$ (*в вазелине) спеченного при 1200(C.

пироксена – клиноэнстатита [10].

Рентгенометрические исследования указанных образцов (рис. 3) показали схожесть дифрактограмм 2 и 3, которые относятся к кристаллической

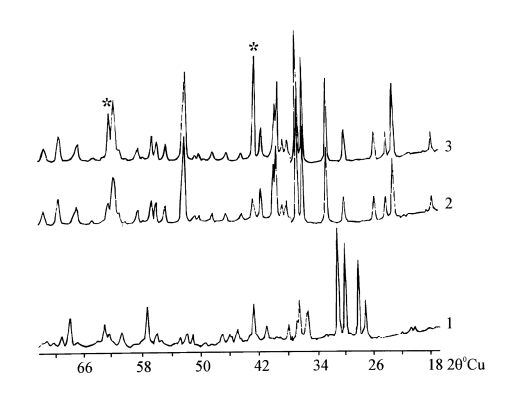


Рис. 3. Дифрактограммы образцов состава mMgO- $nSiO_2$ спеченного при 1200(С.

структуре форстерита. Однако отметим, что на дифрактограмме 3 отчетливо наблюдаются пики, относящиеся к кристаллическому MgO (они отмечены звездочками). На дифрактограмме 1 максимумы с соответствующими межплоскостными расстояниями (d/α) указывают на существование главным монообразом клиноэнстатита клинной сингонии, а также следов кристаллических SiO₂ [11, 12].

инфракрасные спектры этих же образцов (2, 3, соответственно), прокаленных до 1200(С. При прокаливании вышеприведенных гидросиликатов синтезируется только форстерит без побочных образований других силикатов магния. На это указывают максимумы поглощения v(SiO-) с час2о2ам, 840, 882, $990 \ cm^{-1}$ [8, 9]. В спек2ре 2ре2ьего образца (1),прокаленного 2акже до 1200°C, мольным о2ношен, ем $MqO/Na_2O + SiO_2 < 1$ в области частот симметричного валентного колебания Si-O-Si в участке 740-620 CM^{1} наблюдаются максимумов, указывающих на образование моноклинного

рис.

2

представлены

MgCl2–NaOH–Na2SiO3–H2O ՀԱՄԱԿԱՐԳԻ በՒሀበՒՄՆԱՍԻՐՈՒԹՅՈՒՆԸ 20°C-በՒՄ

Ն. Հ. ԶՈՒԼՈՒՄՅԱՆ, Է. Բ. ՀՈՎՀԱՆՆԻՍՅԱՆ, Ռ. Բ. ԹՈՎՄԱՍՅԱՆ և Մ. Ս. ԿԱՐԱԽԱՆՅԱՆ

"Մնացորդային կոնցենտրացիաների", լուծելիության, ֆիլտրատների pH- ի որոշման եղանակներով ցույց է տրված, որ MgO/Na2O+SiO2<1 Na2O/SiO2=1 դեպքում առաջանում են հիդրոսիլիկատներ փոփոխական բաղադրությամբ։
Ակսած MgO/Na2O+SiO2 \geq 1 գոյանում է մագնեզիումի հիդրոօրթոսիլիկատ։
Որոշ հիդրոսիլիկատները և նրանց շիկացված նմուշները ենթարկվել են թերմոգրաֆիկ, ռենտգենոմետրիկ և P^{H} սպեկտրոսկոպիկ ուսումնասիրությունների։

INVESTIGATION OF THE MgCl2-NaOH-Na2SiO3-H2O SYSTEM AT 20°C

N. O. ZULUMYAN, E. B. HOVHANNISYAN, R. B. TOVMASYAN and S. S. KARAKHANYAN

It has been shown by solubility method, by measurements of the filtrate pH and by "residual concentrations" method that at molar ratio $MgO/Na_2O+SiO_2<1$ and at $Na_2O/SiO_2=1$ hudroxysilicates variable compositions have been formed. The magnesium hydroxyorthosilicate was obtained in the case of molar ratio of $MgO/Na_2O+SiO_2\geq 1$.

Some hydroxysilicates and their anealed samples has been subjected to thermographical, X-ray and IR-spectral studies.

ЛИТЕРАТУРА

- [1] Костанян К.А., Геворкян Х.О. Керамические и стеклянные диэлектрики в электронной технике. Ереван, изд. АН Арм ССР, 1984, 203 с.
- [2] Bowen N.L., Tuttle O.F. // Bull. Geol. Soc. Amer., 1949, Bd. 60, p. 38.
- [3] Марков В.К. //Изв. АН СССР, сер. геол. наук, 1965, т. 30, №7, с. 38.
- [4] *Торопов Н.А., Барзаковский В.П., Ляпин В.В., Курцева Н.И.* Диаграмма состояния силикатных систем. Справочник, вып. 1, АН СССР, Л., Наука, 1969, с. 34.
- [5] *Саямян Э.А., Карапетян Т.И., Багдасарян С.Г. Башугян Д.П., Мирзоян Г.Т.* // Арм. хим. ж., 1977, т. 30, №11, с. 921.
- [6] *Бабаян Г.Г., Гюнашян А.П., Оганесян Э.Б., Саямян Э.А.* // Арм. хим. ж., 1966, т. 19, №3, с. 174.
- [7] Саямян Э.А., Наджарян А.К., Оганесян Э.Б., Мирзоян Г.Т., Егиазарян Дж. П., Галстян В.Д., Карапетян Т.И., Шахназарян Ф.С., Григорян С.А. А.с. 1490076 (1989) //Б.И. 1991, №4.
- [8] Moenke H. // Mineralspectren, Acad. Verl. Berlin, 1962.
- [9] Зулумян Н.О. // Арм. хим. ж., 1977, т. 30, №6, с. 465.
- [10] Лазарев А.Н. Колебательные спектры и строение силикатов. Л., Наука, 1968, 347 с.
- [11] Михеев Я.Л. Рентгенометрический определитель минералов. М., Картфабрика гос. геол. тех. издата, 1957, 869 с.
- [12]Powder Diffraction File Search Manual (JCPDS)., U.S.A., Pennsilvania, 1973, 604 p.